

Propuesta - Diagnóstico temprano del cáncer de próstata mediante análisis de imágenes mp-MRI utilizando redes neuronales convolucionales (CNN)

Introducción

El cáncer de próstata representa hoy en día, una de las principales causas de morbilidad y mortalidad en hombres a nivel mundial. De acuerdo con estadísticas recientes, aproximadamente uno de cada ocho hombres será diagnosticado con esta enfermedad a lo largo de su vida, siendo la segunda causa principal de muerte por cáncer en varones en Estados Unidos (American Cancer Society, ZERO Prostate Cancer).

La detección temprana es fundamental para mejorar las tasas de supervivencia y minimizar tratamientos innecesarios. En este sentido, la resonancia magnética multiparamétrica (mpMRI) se ha posicionado como una herramienta clave para la detección y caracterización del cáncer prostático, ya que permite una evaluación detallada de las lesiones sospechosas con la accesibilidad de varios tipos de imágenes para su visualización. No obstante, la interpretación de estas imágenes suele ser subjetiva y depende en gran medida de la experiencia del radiólogo, lo que introduce variabilidad en los diagnósticos.

Ante esta situación, la inteligencia artificial (IA), especialmente las redes neuronales convolucionales (CNN), han mostrado un gran potencial para aumentar la precisión y consistencia en la detección automatizada del cáncer de próstata a partir de imágenes mpMRI. Diversas investigaciones recientes evidencian que los modelos de aprendizaje profundo pueden alcanzar, e incluso superar, el rendimiento de radiólogos experimentados en la identificación de cánceres clínicamente significativos (RSNA).

Además, iniciativas como PROSTATEx y PI-CAI han aportado conjuntos de datos públicos y estandarizados, lo que permite comparar diversos enfoques de IA en este campo (SpringerOpen).

Este documento propone el desarrollo de un modelo basado en CNN para la predicción del cáncer de próstata a partir de imágenes mpMRI, aprovechando bases de datos públicas disponibles. Se analizarán técnicas de preprocesamiento, arquitecturas de redes neuronales y métricas de evaluación, con el fin de establecer un enfoque robusto y reproducible que pueda fortalecer el diagnóstico clínico de esta enfermedad.

Objetivo general

Evaluar y desarrollar un enfoque computacional basado en redes neuronales para aprendizaje automático, con capacidad para predecir de forma temprana la aparición del cáncer de próstata, utilizando el análisis automatizado de imágenes de resonancia magnética. Para ello, se aplicarán técnicas avanzadas de procesamiento digital de imágenes y aprendizaje profundo, orientadas a detectar patrones indicativos de cáncer en estadios iniciales.

Definición del alcance

Este proyecto se enfoca en la investigación, diseño y validación teórica de una metodología para el diagnóstico temprano del cáncer de próstata, utilizando imágenes de resonancia magnética y herramientas de aprendizaje automático. Como resultado, se pretende generar un artículo científico orientado a cumplir con los criterios de publicación en revistas especializadas en ciencia de datos, inteligencia artificial o imagenología médica.

Inicialmente, el trabajo se centrará en el estudio y selección de técnicas pertinentes, seguido del diseño conceptual y validación del algoritmo. Con base en los resultados, se contempla como fase secundaria el desarrollo de una interfaz gráfica amigable que facilite el uso del

modelo en contextos clínicos o académicos. Aunque esta interfaz no constituye el foco principal del artículo, se considera una proyección valiosa de aplicación práctica.

Análisis de antecedentes

El empleo de inteligencia artificial en el diagnóstico del cáncer de próstata ha cobrado relevancia debido a la alta precisión con la que los modelos de aprendizaje automático y profundo pueden analizar imágenes médicas. La resonancia magnética multiparamétrica (mpMRI) ha emergido como la modalidad de imagen más eficaz, combinando secuencias como T2 ponderado (T2W), difusión (DWI) y contraste dinámico (DCE), lo que ofrece una visión integral de la glándula prostática.

Los cinco artículos revisados coinciden en destacar a las CNN como herramientas efectivas para detectar cáncer clínicamente significativo, superar las limitaciones de enfoques tradicionales como PI-RADS y reducir la variabilidad Inter observador. Se emplearon arquitecturas como U-Net, ResNet, DenseNet, EfficientNet y FocalNet, aplicadas tanto a la segmentación de lesiones como a la clasificación del grado de Gleason.

Los modelos reportaron métricas diagnósticas sobresalientes, con áreas bajo la curva (AUC) mayores a 0.85 e incluso superiores a 0.90, lo que refleja su alta capacidad discriminativa. Las técnicas de preprocesamiento, como la normalización de intensidad, segmentación automática y conversión de canales, fueron determinantes para mejorar la calidad de entrada de los modelos.

En términos generales, la literatura respalda que la IA no solo eleva la precisión diagnóstica, sino que también contribuye a optimizar la toma de decisiones clínicas, reducir procedimientos invasivos y prever resultados postoperatorios. Esta tendencia evidencia un cambio de paradigma hacia sistemas de apoyo clínico basados en IA que integren imagenología avanzada con algoritmos inteligentes.

Justificación de elección de técnicas

La elección de las imágenes mpMRI como base diagnóstica se justifica por su elevada sensibilidad y especificidad en la detección de cáncer de próstata clínicamente significativo. A diferencia de las biopsias sistemáticas tradicionales guiadas por ultrasonido transrectal (TRUS), las mpMRI permiten identificar lesiones sospechosas con mayor precisión mediante secuencias que capturan información anatómica (T2W), de difusión (DWI) y perfusión (DCE), reduciendo el sobrediagnóstico y la necesidad de procedimientos invasivos. Esta modalidad cuenta con respaldo de entidades como la Asociación Urológica Americana y la Red Nacional de Cáncer.

Para el entrenamiento del modelo predictivo se seleccionó el dataset PROSTATEx Challenge, destacado por su calidad, relevancia clínica y exhaustividad. Este conjunto, proporcionado por el NIH, incluye estudios completos de mpMRI con secuencias T2W, DWI, mapas ADC y DCE de más de 200 pacientes, junto con anotaciones detalladas como localización de lesiones, PI-RADS y resultados de biopsias. Esto permite construir modelos capaces de detectar y clasificar lesiones prostáticas con alta precisión.

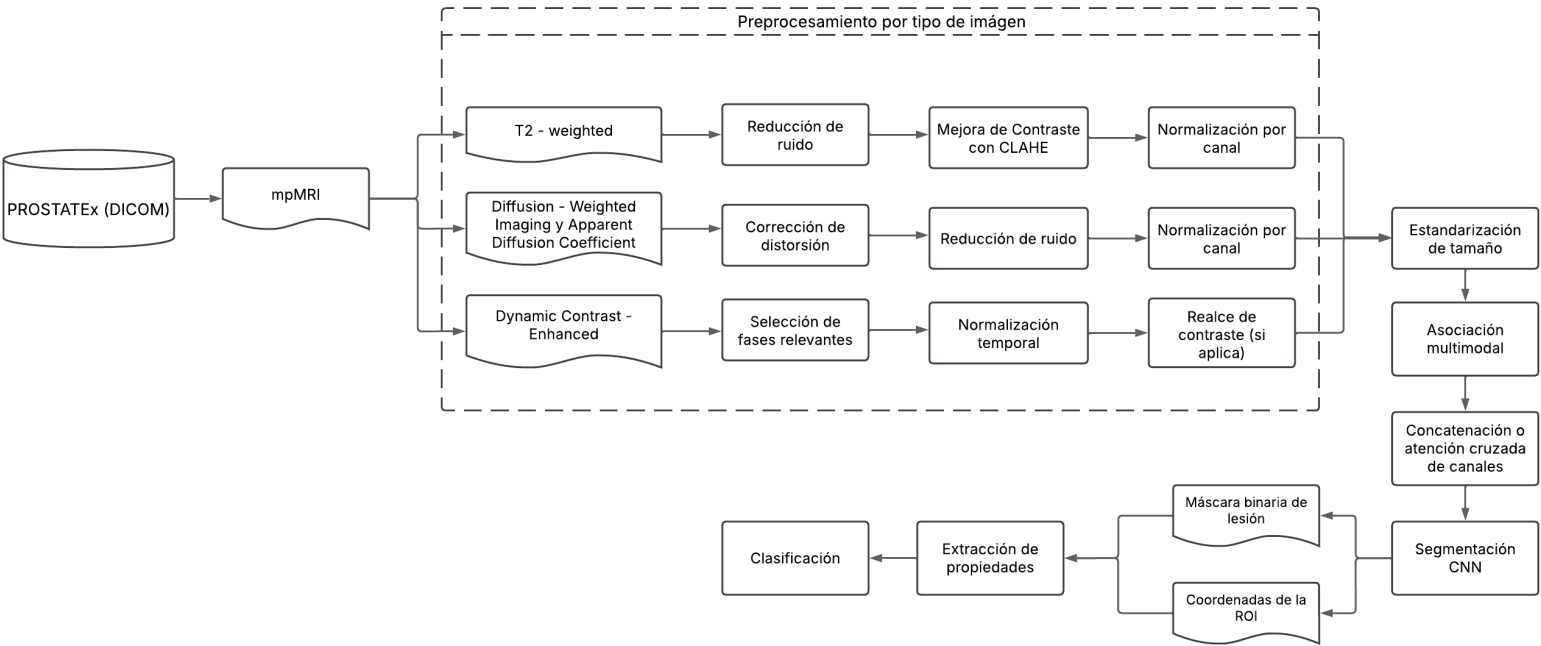
La variabilidad interobservador en la interpretación de las mpMRI refuerza la necesidad de automatizar el diagnóstico mediante inteligencia artificial. Las CNN, en particular modelos como U-Net, ResNet, EfficientNet y DenseNet, han probado ser eficaces en tareas de segmentación y clasificación médica, al extraer jerárquicamente patrones complejos que distinguen tejidos normales y patológicos.

El procesamiento previo, que incluye normalización de intensidades, segmentación automática, registro multimodal y armonización de contraste, es esencial para minimizar el ruido, mejorar la calidad de entrada y garantizar un entrenamiento consistente. Asimismo, la incorporación de técnicas de radiomics, que extraen características cuantitativas como textura, forma e intensidad, puede enriquecer la capacidad predictiva del sistema al combinarse con redes neuronales profundas.

Se busca desarrollar un algoritmo robusto, reproducible y clínicamente aplicable, que automatice y optimice el análisis de mpMRI, ampliando su uso en centros sin especialistas

altamente entrenados. Esta solución basada en IA aspira a contribuir a una medicina más precisa, preventiva y personalizada.

Propuesta de metodología



La metodología propuesta para el diagnóstico automatizado del cáncer de próstata mediante imágenes multiparamétricas de resonancia magnética (mpMRI) del dataset PROSTATEx ha sido diseñada con el objetivo de maximizar la autonomía del modelo en la detección, localización y clasificación de lesiones prostáticas, sin depender de coordenadas provistas por radiólogos. Para lograrlo, se implementa un enfoque integral y modular que abarca desde la preparación de los datos hasta la clasificación clínica final, garantizando robustez, escalabilidad y generalización del modelo.

1. Selección y Preprocesamiento Multimodal

El uso de múltiples modalidades de imagen (T2W, DWI, ADC y DCE) permite capturar distintas propiedades fisiológicas y anatómicas del tejido prostático. Cada tipo de imagen aporta información única:

- T2W resalta la anatomía y la estructura de la glándula,
- DWI y ADC muestran la difusión de moléculas de agua, útil para detectar tejido tumoral,
- DCE evalúa la vascularización anormal en lesiones sospechosas.

Dado que cada modalidad tiene características de intensidad, resolución y ruido distintas, se aplica un preprocesamiento específico por tipo de imagen que incluye:

- Reducción de ruido (filtro anisotrópico o gaussiano),
- Normalización de intensidad por canal,
- Corrección de artefactos en DWI/ADC,
- Registro espacial entre modalidades,
- Y, en el caso de DCE, selección de fases relevantes.

Esta fase garantiza que el modelo trabaje con datos homogéneos y con mayor poder discriminativo.

2. Segmentación Automatizada con 3D U-Net / Attention U-Net 3D

La etapa clave del pipeline es la segmentación automática de las lesiones sin usar coordenadas predefinidas. Para ello, se utiliza una arquitectura 3D U-Net, que ha demostrado ser eficaz en tareas biomédicas volumétricas, permitiendo detectar patrones espaciales tridimensionales complejos con precisión.

En este proyecto, se recomienda considerar la variante Attention U-Net 3D, la cual incorpora mecanismos de atención que ayudan al modelo a enfocarse en las regiones más relevantes del

volumen durante la segmentación, lo cual resulta especialmente útil en contextos donde las lesiones son pequeñas o poco contrastadas frente al tejido sano.

El output de esta red es una máscara binaria tridimensional que señala de forma autónoma la presencia (o ausencia) de lesión, además de proporcionar indirectamente sus coordenadas espaciales.

3. *Extracción de Características y Clasificación*

A partir de la máscara segmentada, se extraen características morfológicas, texturales e intensitarias (volumen, compacidad, desviación estándar, entre otros). Estas características permiten evaluar la probabilidad de malignidad de forma más precisa y contextualizada.

Para la clasificación final, se puede emplear un modelo Random Forest o una red neuronal tipo Multilayer Perceptron (MLP).

El resultado final sería una clasificación del caso en benigno, maligno o sin lesión detectada, junto con una posible predicción de severidad o score auxiliar (PI-RADS o Gleason Score), lo cual representa un apoyo clínico potente para el diagnóstico temprano.

Esta metodología prioriza la independencia diagnóstica del modelo (sin depender de etiquetas de localización), aprovecha el valor clínico de cada modalidad de mpMRI, y utiliza arquitecturas probadas y optimizadas para entornos biomédicos tridimensionales. Además, al incluir una capa de clasificación basada en características, se mejora la interpretabilidad del modelo y se puede integrar información clínica complementaria sin complicaciones.

Referencias

- American Cancer Society. (2024). *Key Statistics for Prostate Cancer*. Recuperado de <https://www.cancer.org/cancer/prostate-cancer/about/key-statistics.html>

- Litjens, G., Sánchez, C. I., Timofeeva, N., Hermesen, M., Nagtegaal, I., Kovacs, I., ... & van der Laak, J. (2016). Deep learning as a tool for increased accuracy and efficiency of histopathological diagnosis. *Scientific Reports*, 6, 26286. <https://doi.org/10.1038/srep26286>
- Mehralivand, S., Bednarova, S., Shih, J. H., Mertan, F. V., Gaur, S., Merino, M. J., ... & Choyke, P. L. (2017). Prospective evaluation of PI-RADS™ version 2 using the International Society of Urological Pathology Prostate Cancer Grade Group System. *The Journal of Urology*, 198(3), 583–590. <https://doi.org/10.1016/j.juro.2017.03.138>
- PI-CAI Grand Challenge. (2023). *Prostate Cancer AI Challenge*. Recuperado de <https://pi-cai.grand-challenge.org/>
- Seetharaman, A., Bhattacharya, I., Patel, P., Elangovan, I., Sadimin, E., & Doyle, S. (2021). Automated detection of clinically significant prostate cancer in mpMRI using an ensemble of 3D CNNs. *Frontiers in Artificial Intelligence*, 4, 662811. <https://doi.org/10.3389/frai.2021.662811>
- Arabi, H., & Zaidi, H. (2023). Deep learning-based prostate cancer classification using 3D multiparametric MRI. *Medical Image Analysis*, 86, 102796. <https://doi.org/10.1016/j.media.2023.102796>
- Liu, W., Cao, Y., & Liang, Z. (2023). FocalNet: A 3D convolutional neural network for prostate cancer detection on mpMRI. *Medical Physics*, 50(1), 89–100. <https://doi.org/10.1002/mp.15928>
- RSNA (Radiological Society of North America). (2023). *Artificial Intelligence and Radiology*. Recuperado de <https://www.rsna.org/en/practice-tools/data-tools-and-standards/artificial-intelligence>
- SpringerOpen. (2023). *ProstateX challenge dataset*. Recuperado de <https://academic.oup.com/jamiaopen/article/5/1/ooac111/6723570>
- ZERO Prostate Cancer. (2024). *Prostate Cancer Statistics*. Recuperado de <https://zerocancer.org/learn/about-prostate-cancer/statistics/>